



### 3.定式化

#### 3.1 段階の定式化

集合とパラメータ

- *Node* : 各点(港)の集合
- *Route* : 点*i*の前の点*k*と次の点*j*の集合
- *Edge* : 枝の集合
- *DummyNode1*: 閉路を避けるダミーノード
- *DummyNode2*: 閉路を避けるダミーノード
- *ShipInvClass* : 船の配置場所

- *Loading<sub>i,j,zz</sub>* : *Edge* × *ShipInvClass* :  
積み込みの集合
- *UnLoading<sub>zz,i,j</sub>* : *ShipInvClass* × *ShipInvClass* :  
積み下ろしの集合

- *LaU<sub>i,j,zz</sub>* : *Loading<sub>i,j,zz</sub>* ∪ *UnLoading<sub>zz,i,j</sub>*
- *Load1<sub>i,j</sub>* : *Node* ∪ *DummyNode1*
- *Load2<sub>i,j</sub>* : *Node* ∪ *DummyNode2*

• *Commodity* : 品種の集合

• *Height* : *Commodity* > *ShipHeight*  
*ShipInvClass* *ss*より背高の高い品種の 集合

- *Origin<sub>i,c</sub>* : 点*i*における品種*c*の需要の発生点
- *Destination<sub>i,c</sub>* : 点*i*における品種*c*の需要の集中点
- *ShipInv<sub>zz</sub>* : 船における各クラスの 在庫上限
- *Shipheight<sub>zz</sub>* : 船の各クラスの高さ
- *ShipWT* : 船の自重
- *WT<sub>c</sub>* : 各品種*c*の重さ
- *height<sub>c</sub>* : 品種*c*の高さ

- *longitudial<sub>zz</sub>* : 各クラスの縦の長さ
- *TrimUpper* : 各クラスの縦の艇子の 上限
- *TrimMLower* : 各クラスの縦の艇子の 下限

*time<sub>zz</sub>* : 積み込み, 積み下ろし作業にかかる時間

変数

$x_{i,j,zz} \geq 0$  各点の積み込み, 積み下ろしの数

$z_{i,j,zz,c} \geq 0$  各点同士の流入出货量 関係

目的関数と制約条件

最小化

Minimize

$$\sum_{zz \in ShipInvClass} \sum_{c \in Commodity} \sum_{(i,j) \in Edge} (x_{i,j,zz,c} + x_{zz,i,j,c}) time_{zz}$$

制約条件

$$Origin_{j,c} = \sum_{zz \in ShipInvClass} \sum_{ss \in (i,j) \in Edge} x_{i,j,zz,c} \quad \forall j \in Node$$

$$c \in Commodity \quad (1)$$

$$Destination_{i,c} = \sum_{zz \in ShipInvClass} \sum_{ss \in (i,j) \in Edge} x_{zz,i,j,c}$$

$$\forall j \in Node$$

$$c \in Commodity \quad (2)$$

$$z_{k,i,zz,c} + x_{k,i,zz,c} = z_{i,j,zz,c} + x_{zz,i,j,c}$$

$$\forall (k,i,j) \in Route$$

$$zz \in ShipInvClass$$

$$c \in Commodity \quad (3)$$

$$z_{i,j,zz,c} = 0 \quad \forall (i,j) \in Load1$$

$$zz \in ShipInvClass$$

$$c \in Commodity \quad (4)$$

$$z_{zz,i,j,c} = 0 \quad \forall (i,j) \in Load1$$

$$zz \in ShipInvClass$$

$$c \in Commodity \quad (5)$$

$$z_{i,j,zz,c} = 0 \quad \forall zz \in ShipInvClass$$

$$(zz,c) \in Height \quad (6)$$

$$\sum_{c \in Commodity} z_{i,j,zz,c} \leq ShipInv_{zz} \quad \forall (i,j) \in Edge$$

$$zz \in ShipInvClass \quad (7)$$

$$\sum_{c \in Commodity} z_{zz,i,j,c} \leq ShipInv_{zz} \quad \forall (i,j) \in Edge$$

$$zz \in ShipInvClass \quad (8)$$

$$\left[ \frac{\sum_{c \in Commodity} \sum_{(i,j) \in Edge} WT_c z_{i,j,zz,c} longitudial_{i,zz}}{\sum_{c \in Commodity} z_{i,j,zz,c} WT_c + ShipWT} \right] \leq TrimUpper$$

$$\forall (i,j) \in Edge \quad (9)$$

$$\left[ \frac{\sum_{c \in Commodity} \sum_{(i,j) \in Edge} WT_c z_{i,j,zz,c} longitudial_{i,zz}}{\sum_{c \in Commodity} z_{i,j,zz,c} WT_c + ShipWT} \right] \leq TrimMLower$$

$$\forall (i,j) \in Edge \quad (10)$$

$$\left[ \frac{\sum_{c \in Commodity} \sum_{zz \in ShipInvClass} z_{i,j,zz,c} altitude_{zz} + GravityCenterShipWT}{\sum_{c \in Commodity} \sum_{zz \in ShipInvClass} z_{i,j,zz,c} WT_c + ShipWT} \right] \leq AIMUpper$$

$$\forall (i,j) \in Edge \quad (11)$$

$$\left[ \frac{\sum_{c \in Commodity} \sum_{zz \in ShipInvClass} z_{i,j,zz,c} altitude_{zz} + GravityCenterShipWT}{\sum_{c \in Commodity} \sum_{zz \in ShipInvClass} z_{i,j,zz,c} WT_c + ShipWT} \right] \geq AIMLower$$

$$\forall (i,j) \in Edge \quad (12)$$

式(1)では, 発地*i*における品種*c*の量は,発地*c*における各クラスに割当てられた各品種の総と同じ。式(2)では, 着地*i*における品種*c*の量は,着地*i*における各クラスに割当てられた各品種*c*の総と同じ。

式(3)では, フロー整合条件である。点*i*において, 以下のように表現できる。

左辺の  $z_{k,i,zz,c}$  が、前の点  $k$  から点  $i$  にくる流入量であり、 $x_{j,i,zz,c}$  は点  $i$  における積み込み量である。また右辺の  $z_{i,j,zz,c}$  は、点  $i$  から次の点  $j$  への流出量であり  $x_{zz,i,j,c}$  は点  $i$  における積み下ろし量である。

式(4),(5)始点の前,終点の後ろに閉路を避ける為にダミー点を加える。

式(6)では、クラスより背高の高い品種は置くことが出来ないことを意味する。

式(7),(8)では、割り当てられた数 ShipInvClass

の上限以下であることを意味する。

式(9),(10)では、モーメントの縦の上下限に対して、バラスト水槽に水を注入して値を変えることのできる、梶子の長さの上下限值である。各クラスに配置された、品種  $c$  の量と重さによって、モーメント値が変わる。そのため、安全に輸送するにはモーメントの上限を超えてはならない。そのために、バラスト水槽に水を注入して値を変えて、梶子の長さを変化させることのできる上下限の制約を計算している。式(11),(12)では、上下方向のモーメントの上下限に対して、バラスト水槽に水を注入して値を変えることのできる、梶子の長さの上下限值である。しかし、縦横の場合と異なり、上下方向を考えると、船の場合は重心地と、実際の船にかかる重心地とは異なるので、実際にかかる重心地と船の中心地との距離の調節できる上下限の制約を計算している。これによって積み込み,積み下ろし時間の最小化の配置割当てが決定する。この配置結果を用いて第二段階で入替えを考慮した定式化を行うことができる。

### 3.2 二段階の定式化

第二段階の定式化は第一段階の定式化を式の追加や拡張を行うだけである。

新たな集合を追加

- $Path1_{zz}$ : 積み込み時にある品種  $c$  がある ShipInvClass に配置するときに通過する集合
- $Path2_{zz}$ : 積み下ろし時にある品種  $c$  がある ShipInvClass に配置するときに通過する集合

新たなパラメータの追加

- $reshipmnettime1_s$ : 積み込み時に割当てられた場所までに入替えがあった場合の入替え時間
- $reshipmnettime2_s$ : 積み込み時に割当てられた場所までに入替えがあった場合の入替え時間
- $y1_{i,j,zz}$ : 積み込み時における 0-1 定数
- $y2_{zz,i,j}$ : 積み下ろし時における 0-1 定数

新たに変数の追加

- $xyz_{i,j,zz} \geq 0, integer$ : 入替えが発生する量

また,第一段階では変数は全て実数であったが第二段階では全て整数となる。

目的関数の拡張

Minimize

$$\sum_{zz \in ShipInvClass} \sum_{ss \in Commodity} \sum_{(i,j) \in Edge} (x_{i,j,zz,c} + x_{zz,i,j,c}) time_{zz} + \sum_{(i,j) \in Edge} \sum_{zz \in ShipInvClass} xyz_{i,j,zz} + \sum_{(i,j) \in Edge} \sum_{zz \in ShipInvClass} xyz_{zz,i,j}$$

制約式の追加

$$\sum_{s \in Path1_{zz}} \sum_{c \in Commodity} y1_{i,j,zz} reshipment_{itime1_s} x_{i,j,zz,c} = xyz_{i,j,zz} \quad \forall (i,j) \in Edge, zz \in ShipInvClass \quad (13)$$

$$\sum_{s \in Path1_{zz}} \sum_{c \in Commodity} y2_{zz,i,j} reshipment_{itime1_s} x_{z,i,j,c} = xyz_{i,j,zz} \quad \forall (i,j) \in Edge, zz \in ShipInvClass \quad (14)$$

式(13),(14)は第一段階で得た値を枝間  $(i,j)$  で使用

された ShipInvClass を  $y1_{i,j,s}, y2_{zz,i,j}$  によって使用した場合は 1, 使用しない場合は 0 と表現し、積み込み, 積み下ろし時において品種が流れるときに入れ替えが発生したときの量を計算する式である。

## 4. 数値実験

### 4.1 実験環境と数値実験の概要

今回は glpk4.8 を用いてプログラムに実装し、実験を行う。計算機環境は CPU が 3.20GHz, メモリ 1.00GB である。実験の検証について台数,品種の変化による最適解までの到達%と求解時間の差異を検証する。求解時間の設定を 2 時間とした。

数値実験 1: 品種を固定し,台数の増加によって上記のことを検証する。

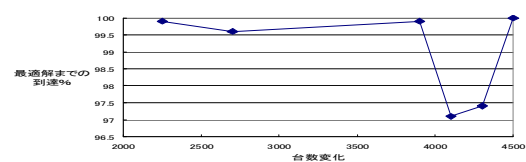
数値実験 2: 台数を固定し,品種を増加し上記のことを検証する。

数値実験 3: 総量,品種も増加によって上記のことを検証する。

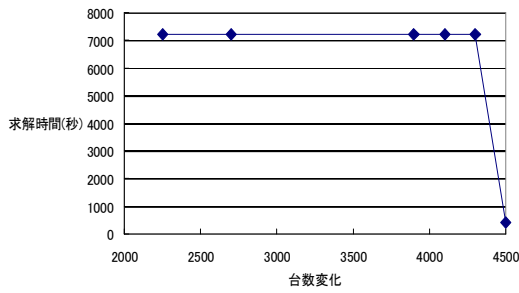
数値実験 4: 0-1 定数の範囲を拡張し数値実験 1~3 を行い上記のことを検証する。

### 4.2 数値実験 1

品種を 16 と固定し総量 2250~4500 台と変化した。グラフ 4 では最適解の到達%を示す。グラフ 5 では求解時間の比較である。



グラフ 4 最適解までの到達%の比較

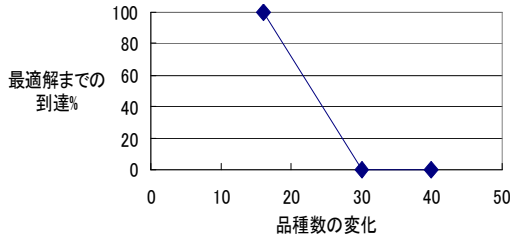


グラフ 5 求解時間の比較

台数増加による求解困難とはいえそうにない結果が得られた。

### 4.3 数値実験 2

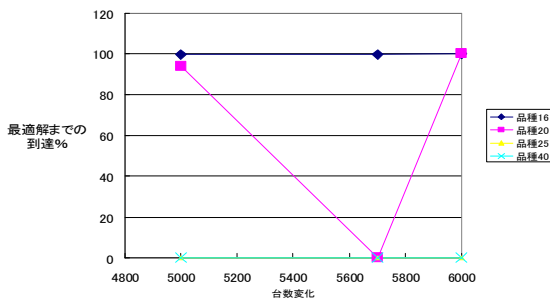
総量を 4500 台と固定し、品種を 16,30,40 と増加させる。グラフ 6 では最適解までの到達%を示すが品種 16 以外は時間内に求解できなかった。このことから、台数増加より、品種の増加が求解困難になるのではないかと思われる結果になった。



グラフ 6 最適解までの到達%の比較

### 4.4 数値実験 3

総量を 5000,5700,6000 台とし、品種を 20,25,40 とした。グラフ 7 から分かるように品種 16 のときは全て求解できたのに対し、品種の増加によって求解できなくなっていることが分かる。



グラフ 7 最適解までの到達%の比較

### 4.5 数値実験 4

次に、少しパラメータの  $y1_{i,j,s}$ ,  $y2_{zz,i,j}$  の与える範囲を拡張し数値実験 1~3 を再び行う。解に差異はないが以下の表 8 ように時間内に求解できなかった問題も求解可能になった。

表 8 数値実験 4 結果一覧

予約考慮せず				予約考慮			
台数	求解時間	使用メモリ(MB)	最適解までの到達%	台数	求解時間	使用メモリ(MB)	最適解までの到達%
2250	7200	54	99.9	2250	7200	52.4	99.9
2700	7200	49.9	99.9	2700	7200	47.1	99.7
3800	7200	68.1	99.9	3800	7200	58.6	99.9
4100	7200	83	97.1	4100	7200	100.4	99.5
4300	7200	47.9	97.4	4300	7200	48.8	98.8
4500	41.9	41.6	100	4500	7200	48.4	99.3

### 5.考察

設定時間内で、ほぼ 100%の解を得ることに成功した。100%の求解ができなかったのは、船舶特有のモーメントに関する制約条件が厳しく、実行可能領域が、非常に狭いなかで最適化を行っていると思われる。実際に、梃子の値を緩和し実験をすると求解時間が速いことが仮実験で得られた。

### 6.終わりに

自動車専用船における配置割当ての定式化、実務時間内に求解することに成功した。台数による増加よりも品種数の増加のほうが求解することが困難であることを明らかにした。品種を 1 種類として台数を  $m$ 、配置場所を  $n$ 、積み込み港、積み下ろし港を  $x$  とすると、計算量 1 は以下のように表現できる。計算量  $1 = mnx$  となる。次に品種を複数とし  $c$  として、台数を  $m$  と単純に表現することが出来ない(台数の合計となる)つまり、計算量  $2 = cmnx$  と表現できない。この  $cm$  の部分が、計算量が多く、計算量が爆発的に増え、そのため時間内に求解することができないと推測される。

### 7.参考文献

- 1) 特許庁 HP <http://www.jpo.go.jp/indexj.htm>
  - 2) トヨタ自動車株式会社の HP <http://www.toyota.co.jp/jp/facilities/manufacturing/worldwide.html>
  - 3) 日本船主協会の HP <http://www.jsanet.or.jp/newship/html/11car/026.html>
  - 4) 海難審判庁の HP <http://www.mlit.go.jp/maia/04saiketsu/16nen/yokohama/vh16/02/14yh119yaku.htm>
- 引用文献
- 1) 船の豆知識 <http://www.h.do-up.com/home/jhizumi/index.html>